FISICA DEL SAPORE

ll "sapore" (o "flavour") indica la specie della particella elementare considerata (campi fermionici) Nel Modello Standard abbiamo:

QUARKS: $\begin{cases} U & C & C = \frac{2}{3} \\ U & S & b \end{cases}$ Q=-\frac{1}{3}

LCPTONI: { Ve Vy Vz Q=0 e y z Q=-1

Lu FISICA DEL SAPORE studia i processi che mostrano una trasformazione del sapore tra lo stato iniziale e quello finale.

Abbiamo visto che l'unica interazione dello SM che produce un cambio di sapore e l'INTERAZIONE ELETTRO DEBOLE DI CORRENTE CARICA. L'accoppiamento tra quark di diverse generazioni e possibile grazie agli elementi non diagonali della MATRICE CKM.

MATRICE CKM

Nelle correnti di interazione carica abbiama trovato:

$$\sum_{cc}^{\mu} = \overline{\nu}_{ii} \, \delta^{\mu} \, e_{Li} + \overline{u}_{Li} \, \bigvee_{ij} \, \delta^{\mu} \, d_{Lj}$$

Love
$$V = U_{u_{L}}U_{d_{L}}$$
 e (a MATRICE (KM
E unitaria: $V^{\dagger}V = 1$ (CABIBBO - KOBAYASHI- MASKAWA)

PARAMUTRI FISICI

. Una matrice ortogonale uxu ha

$$N^2 - \frac{N(n+1)}{2} = \frac{N(n-1)}{2}$$
 angoli indipendenti

$$\sum_{k} O_{ki} O_{kj} = S_{ij} : \frac{N(n+1)}{2} \text{ vincoli indipendenti}$$

· Una matrice unitaria uxu ha

$$\sum_{k} V_{ki}^* V_{kj} = S_{ij} : N^2 \text{ vincoli} \text{ indip.}$$

come matrice
$$N^{2} = \frac{N(N-1)}{N} + \frac{N(N+1)}{2}$$
ortogonale
$$N^{2} = \frac{N(N-1)}{N} + \frac{N(N+1)}{2}$$

(2N-1) di queste fasi NON SONO FISICHE. Possono essere rimosse da cambio di fase dei quark che lascia invariato il resto della Lagrangiana: $U_{L,R}^{i} \rightarrow e^{i\vartheta_{i}^{c}} U_{L,R}^{i} \qquad d_{L,R}^{i} \rightarrow e^{i\vartheta_{i}^{c}} d_{L,R}^{i} \qquad i=7,...,n$ L'effetto e LSM - LSM (VCKM - VCKM e (1) - Di) Sc tutti di = du V is allera Vorm - Vorm (simuetria Uh) B di numero barionico) Quindi posso rimuovere 2n-1 tasi. V_{CKM} ha $\frac{N(N+1)}{2}-2N+1=\frac{(N-1)(N-2)}{2}$ FASI =D (Esiste una fase fisica solamente se 1731 Occorrono almeno 3 generationi. · Oltre ad angoli e forse di Vorm, ho auche N+N masse per quara up & down. PARAMETRI DI YUKAWA PER I QUARK (N=3) 6 MASSE + 3 ANGOCI + 1 FASC

PARCINTESI:

VIOLAZIONE DI CP NELLO SM

Abbiano visto de sotto la combinazione CP:

Vediamo come trasforma la Lagrangiana di corrente carica:

$$\mathcal{L}_{cc} = \frac{9}{\sqrt{2}} \left(\bar{u}_{L} V W^{\dagger} d_{L} + \bar{d}_{L} V^{\dagger} W u_{L} \right)$$

Dua fase non nulla della CKM VIOLA CP.

L-LEMENTI DOLLA MATRICE CKM

$$\mathbf{V} = egin{pmatrix} V_{
m ud} & V_{
m us} & V_{
m ub} \ V_{
m cd} & V_{
m cs} & V_{
m cb} \ V_{
m td} & V_{
m ts} & V_{
m tb} \end{pmatrix}$$

In completa generalità pro essere parametrizzata con 3 augoli ed una fase in questo modo:

$$\mathbf{V} = \begin{pmatrix} 1 & 0 & 0 \\ 0 & c_{23} & s_{23} \\ 0 & -s_{23} & c_{23} \end{pmatrix} \begin{pmatrix} c_{13} & 0 & s_{13}e^{-i\delta} \\ 0 & 1 & 0 \\ -s_{13}e^{i\delta} & 0 & c_{13} \end{pmatrix} \begin{pmatrix} c_{12} & s_{12} & 0 \\ -s_{12} & c_{12} & 0 \\ 0 & 0 & 1 \end{pmatrix}$$

$$\mathbf{V} = \begin{pmatrix} c_{12}c_{13} & s_{12}c_{13} & s_{13}e^{-i\delta} \\ -s_{12}c_{23} - c_{12}s_{23}s_{13}e^{i\delta} & c_{12}c_{23} - s_{12}s_{23}s_{13}e^{i\delta} & s_{23}c_{13} \\ s_{12}s_{23} - c_{12}c_{23}s_{13}e^{i\delta} & -s_{23}c_{12} - s_{12}c_{23}s_{13}e^{i\delta} & c_{23}c_{13} \end{pmatrix}$$

$$\zeta_{ij} = \sin \theta_{ij} \qquad \zeta_{ij} = \cos \theta_{ij}$$

Sperimentalmente, questi angoli sono stati misurati e si ha S13 << S23 << Snz.

 $S_{12} \approx 0.226$ $S_{23} \approx 0.042$

La fase e grande

La parametrizzazione di Wolfenslein riflette questa gerarchia:

$$S_{42} \stackrel{\text{def}}{=} \lambda$$
 $S_{23} \stackrel{\text{def}}{=} A \lambda^2$ $S_{43} e^{-i\delta \frac{def}{=} A \lambda^3} (S_{-iM})$

Si offiene

$$V_{\text{CKM}} = \begin{pmatrix} 1 - \lambda^2/2 & \lambda & A\lambda^3(\rho - i\eta) \\ -\lambda & 1 - \lambda^2/2 & A\lambda^2 \\ A\lambda^3(1 - \rho - i\eta) & -A\lambda^2 & 1 \end{pmatrix} + \mathcal{O}(\lambda^4)$$

Definendo
$$\bar{S} = S\left(1 - \frac{\lambda^2}{2} + \dots\right)$$
 $\bar{M} = M\left(1 - \frac{\lambda^2}{2} + \dots\right)$

Dalle misure:

$$\lambda \approx 0.726$$
, $A \approx 0.87$, $\bar{j} \approx 0.94$, $\bar{M} \approx 0.35$

= Questi sono importanti TEST dello SM

Vogliame testare le relazioni
$$\sum_{k} V_{ki} V_{kj} = 0$$
, i + i sensibile alla fase S.

Sd)
$$V_{us}V_{ud}^{\star} + V_{cs}V_{cd}^{\star} + V_{ts}V_{td}^{\star} = 0$$

$$O(\lambda) \qquad O(\lambda^{5}) \qquad \text{on elements e molto}$$

$$p_{iu} = p_{iccolo} \text{ degli altri}$$

bs)
$$V_{ub}V_{us}^* + V_{cb}V_{cs}^* + V_{tb}V_{ts}^* = 0$$
 intersante $O(\lambda^4)$ $O(\lambda^2)$ $O(\lambda^2)$

bd)
$$V_{ub}V_{ud}^{*} + V_{cb}V_{cd}^{*} + V_{tb}V_{td}^{*} = 0$$
 } tutti i termini grandella stessa grandella

Dividiamo per Vos Vod por far si:

- . Tutti termini 8(1)
- . Uno e = 1
- · Termini invarianti per riparametrizzazione di fase

$$4 + \frac{V_{cb}^{*} V_{cd}}{V_{cb}^{*} V_{cd}} + \frac{V_{cb}^{*} V_{cd}}{V_{cb}^{*} V_{cd}} = 0$$

$$1 + \left(-\overline{9} - i\overline{9}\right) + \left(-1 + \overline{9} + i\overline{9}\right) + O(\lambda^{9}) = 0$$

E la somma di 3 numeri complessi

Somma vettoriale nel piano complesso

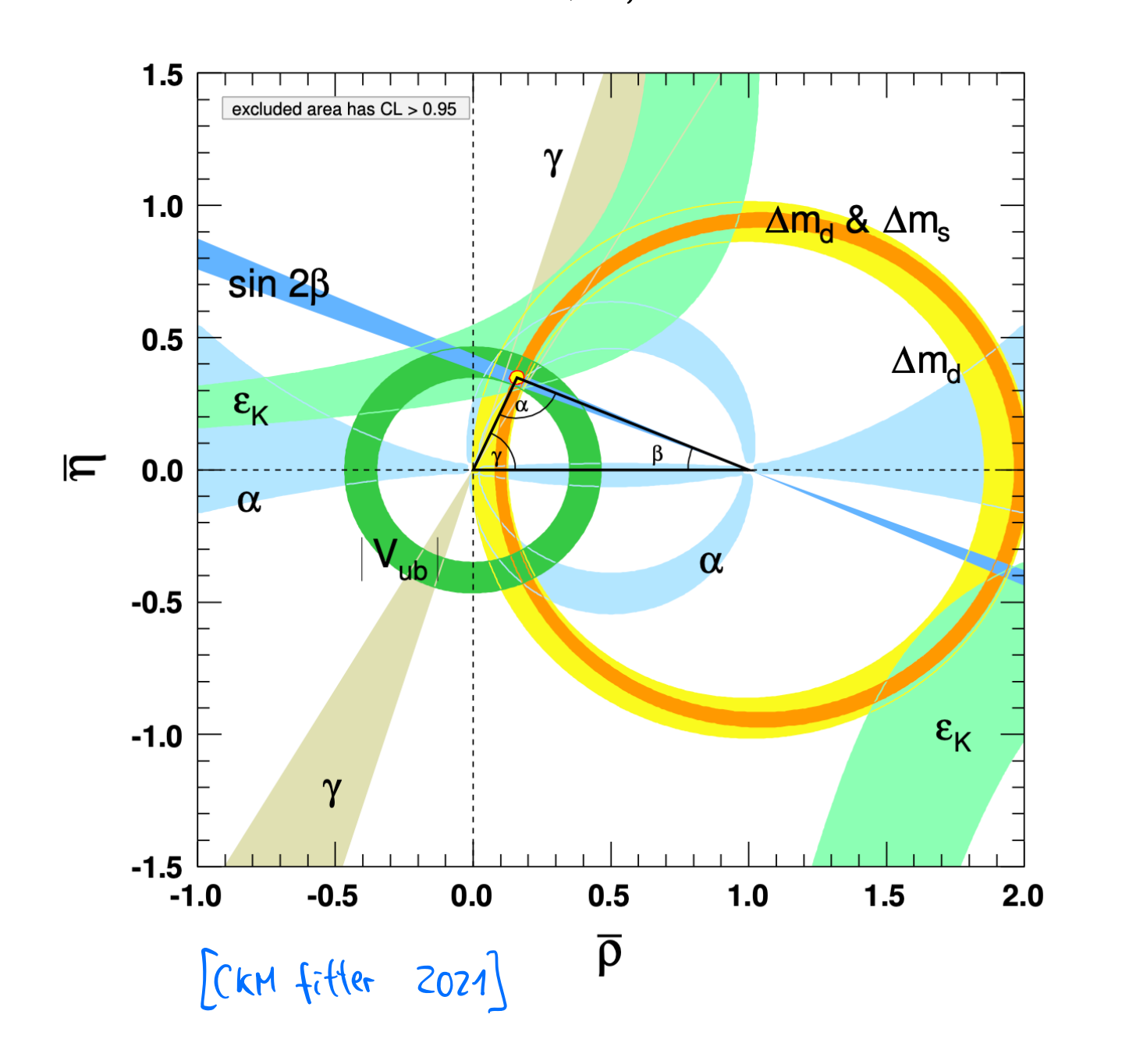
$$V_{
m CKM} = egin{pmatrix} 1 - \lambda^2/2 & \lambda & A\lambda^3(
ho - i\eta) \ -\lambda & 1 - \lambda^2/2 & A\lambda^2 \ A\lambda^3(1 -
ho - i\eta) & -A\lambda^2 & 1 \end{pmatrix} + \mathcal{O}(\lambda^4)$$

$$\mathcal{L} = 0.62 \left(-\frac{\Lambda^{6} \Lambda^{6}}{\Lambda^{6} \Lambda^{6}} \right) \qquad \mathcal{L} = 0.62 \left(-\frac{\Lambda^{6} \Lambda^{6}}{\Lambda^{6} \Lambda^{6}} \right) \qquad \mathcal{L} = 0.62 \left(-\frac{\Lambda^{6} \Lambda^{6}}{\Lambda^{6} \Lambda^{6}} \right)$$

- · Base normalizzata ad 1
- · Misure delle longhette dei lati $\left| \frac{V_{tb}^* V_{td}}{V_{cb}^* V_{cd}} \right| e \left| \frac{V_{ub}^* V_{ud}}{V_{cb}^* V_{cd}} \right|$

o di 2 degli angoli 2, B, 8 forniscono test indipendenti dell'unitarieta.

• Tutte queste misure devono essere compatibili con il vertice (3, m)



Per M=0 (parte immaginaria nulla) (P sarebbe conservato. In questo caso il triangdo di unitarieta aurebbe AREA NULLA (collarserebbe ad una linea).

Si définisce la quantita 5 come il doppio dell'area del triangolo di unitariete non riscalato:

$$J = 2 \left(\text{area} \right) = Im \left(V_{ud} V_{tb} V_{td}^* V_{ub}^* \right) = \left(2,96 \pm 0,20 \right) \times 10^{-5}$$

$$= 5_{12} S_{23} S_{37} C_{12} C_{23} C_{31}^2 \text{ sin } \delta \qquad \text{PICCOLO ANCHE.}$$

$$5e \ \delta \in \text{GRAPPEC.}$$

INVARIANTE DI JARLSKOG

- · 5 =0 se e solo se CP uan é violato
- · E un invariante sotte la riparametrizzazione di fase dei campi dei quark.
- · Qualsiasi violazione di Puello SM e proportionale a 5.
- · 5 Do se un qualsiasi angolo di mixing DO (dire che se 6-00). Questo perché seveno 3 gencouzioni per avere violazione di CP.

MISURA DEFLI ELEMENTI DI VCKM

Settore di "sapore" (flavor) del Modello Standard. I decadimenti degli adroni sono contrellati dagli elementi della matrice CKM delle interazioni di C.C.

$$\mathcal{L}_{\text{gauge}} > -\frac{9}{\sqrt{2}} \left(\mathcal{W}_{\mu}^{\dagger} \ \overline{u}_{\iota}^{i} \ V_{ij} \ \mathcal{Y}^{\mu} \mathcal{J}_{\iota}^{j} + h.c. \right)$$

- . Transitioni ui 😂 di controllate da Vij
- · La fase controlla tenomeni di VIOLAZIONE di CP
- . Non tutti gli elementi Vi; sono indipendenti:

UNITARIETA'
$$\sqrt{1} = 1$$

$$\sqrt{1$$

- · Gli elementi |Vij| possono essere determinati da misure di larghezze di decadimento o di branching ratios (Br) (rapporti di diramazione) associati a decadimenti ui \(\sigma \) di a livello albero.
- · Altre combinationi di elementi CKM possono essur estratti de misure di processi che avvengono ad 1 loop.
- Preditione teorica. Questa é soggetta ad incertette adroniche, dovute al calcolo degli elementidi matrice di operatori formati da quark tra stati adronici:

 $\langle H_{2}(\mathbf{r}) | O(u_{i}, d_{j}, ...) | H_{1}(\kappa) \rangle$

Tecniche: Simulationi di QCD sul reticolo, lagrangiana chirale, Heavy quark CFT, light-come sum rules,... [PDG. 12] • | Vud d-oue v.: N-ope v | Vud = 0.17367(32) Ot-00t superallowed nuclear B-decays 0(1) u - d et ve: n+ - n° et v • | Vus | s-oulī, : K'_-on-lty 1= e, M K+ - M° l+ V. O(X) • |Vus/Vud| Br(K-pµv̄) | ll rapporto pomette

Br(γγ→μν̄) | sull'elemento di matrico adjonico $|V_{us}| = 0.22308 (55)$ UNITARICTA: |Vul 2 + |Vus 2 + |Vus 2 = 1 ~ 10-5 : trascurabile $= 0 \left| V_{ud} \right|_{exp}^{2} + \left| V_{us} \right|_{exp}^{2} = 0.99780 \pm 0.00067 \quad Vs. \quad 1$ 3.2 d'éviazione da 1 Segnale di possibile nuova fisica, ANOMACIA DOLL'ANGOLO Problema nelle misure o predizioni teoriche DI CABIBBO o fluttuazione statistica? Occorre aspettare ulteriori dati e migliorare le

predizioni feariche

$$\sum_{s}^{+} \rightarrow \gamma^{+} \nu$$

$$\sum_{s}^{+} \rightarrow \gamma^{+} \nu$$

$$|V_{cs}| = 0.975 \pm 0.006$$

 $O(\gamma_3)$

$$|V_{Ub}| = (3,67 \pm 0,15) \times 10^{-3}$$

•
$$|V_{tS}|$$
 e $|V_{td}|$
• $|V_{tS}|$ e $|V_{td}|$

$$t - s l^{\dagger} v_{\ell}$$
 $t - s d l^{\dagger} v_{\ell}$

tosstve } non misurabili con decadimenti del top

Bisopha affidarsi a processi dove queste transitioni tos e tod avvergoro dentro loop.

Per esempio in oscillazioni B's \ B's e B' \ \ B'

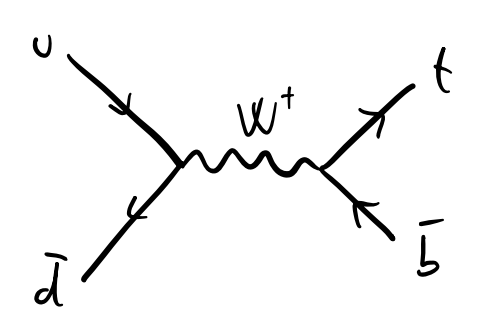
$$B_s^{\circ} \xrightarrow{b} \underbrace{v_i c_i t}_{w_i c_i t} \xrightarrow{b} \overline{B}_s^{\circ}$$

simile per B° 4> B° con Sid

Decadimenti

del top:
$$\frac{Br(t \rightarrow W^{\dagger}b)}{\sum Br(t \rightarrow W^{\dagger}q)} = |V_{tb}|^2 \Rightarrow |V_{tb}| > 0.975 @ 95\%. CL$$

Produzione di singolo top al collider:



V x |V_{tb}|² → |V_{tb}| = 4,074 ± 0.029

CLASSIFICATIONE DEL DECADIMENTI DI ADRONI

· LEPTONICI

Br ~ 100 % Altri cauali soppressi da spazio delle fosi.

B^t - r^tv_r - Br ~ 10⁻⁴ - B^t ha molti più canali di decadimento più probabili B_s - pr^tpr - Br ~ 10⁻⁹ - FCNC. Molto raro.

- Dipendonc da 1 solo parametro non-perturbativo, la "costante di decadimento" del mesone, eg. fr. Possono quindi essere predetti con buona precisione.

. SOMILOPTONICI

-> La predizione degli elementi di matrice adronici e prodifficile. Richiede varie tecniche: Chiral perturbation theory, Heavy-quark EFT, etc...

· ADRONICI

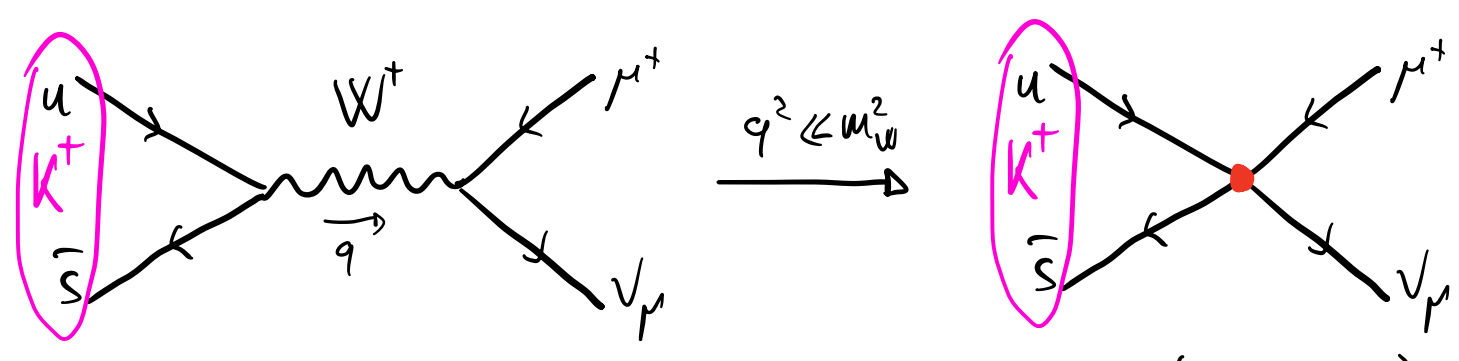
Ktonto, Koonto

Preditioni teoriche sono spesse molto difficili.

DECADIMENTI LEPTONICI DEI K Donostive VIII -17

Abbiamo visto che le transizioni di sapore nello SM sono dovute all'interazione con il bosone W:

per esemplo il decadimento leptonico Kt-p+V,



Dato che q² = wx = (0,494 GeV)² << mw = (80,4 GeV)² possiamo lavorare nellà teoria effettiva di bassa energia: $\mathcal{L}_{cc}^{eff} > -4 \frac{GF}{\sqrt{15}} (V_{ij} \overline{u}_i \chi_{\alpha} P_{L} d_j) (\overline{\mu} \chi^{\alpha} P_{L} \nu_{\mu}) + ...$

L'ampietta e data da:

i A
$$\simeq$$
-i $\frac{46_F}{\sqrt{z}}$ $\frac{1-8_s}{\sqrt{z}}$ $\frac{1-8_s}{z}$ $\frac{1-8_s}{z}$

Wilson

Clemento di matrice di QCD

(015 8,17-8,101 Kt(9))

Non si calcola in the delle perturbazioni
perche QCD e non-perturbativa.

Mossiamo però restringerne la forma.

• QCD e invariante sotto P (parita) e C (coniugazione)

· (mesoni K (come i piùni) sono pseudoscalari

 $\langle 0|\overline{5} \rangle / (1-\sqrt{s}) u | K^{+}(9) > = 0$

Vn Ap

<0 | Vo | K^t > : < scalare | scalare | pseudo scalare > = 0

(Scalare) Pseudoscalare | Neudoscalare > £0

= <015 8, 8, u (K+(a) > \$0

. Définiano quindi come per i pioni, la COSTANTE DI DECIDIHENTO fx:

<015 8, 7, u 1 K+(9)> = i fx+9,

Vota, in alcune referenze viene usata la conventione 12 fet. Noi usiamo la convenzione

· fix si offiene o sperimentalmente e da QCD sul réticolo.

 $f_{K^{\pm}} = 155,7(3)$ MeV [PDG. 84] $f_{\pi^{\pm}} = 430,2(1,2)$ MeV

$$i\mathcal{M}(K^{\dagger} \to \mu^{\dagger} V_{\mu}) = i \frac{G_{F}}{V_{2}} V_{05}^{*} i f_{K} q_{\mu} \left[\overline{u}_{\nu_{\mu}}(P_{1}) Y^{r}(1-Y_{5}) V_{\mu}(P_{2}) \right]$$

$$= \frac{G_{F}}{V_{2}} V_{05}^{*} f_{K} M_{\mu} \left(\overline{u}_{\nu_{\mu}}(P_{1}) \left(1+Y_{5} \right) V_{\mu}(P_{2}) \right) = \frac{G_{2}}{G_{2}} di Dirac :$$

 $dM(K^{+} \rightarrow \gamma^{+} V_{\gamma}) = \frac{1}{2M_{int}} \sum_{spin} |M|^{2} dM_{cips}$

 $\widetilde{\mathcal{U}}_{\nu}(\boldsymbol{p}_{1})\left(\boldsymbol{p}_{1}+\boldsymbol{p}_{2}^{\prime}\right)\left(1-\widetilde{\boldsymbol{V}}_{s}\right)\boldsymbol{\mathcal{V}}_{\mu}\left(\boldsymbol{p}_{2}\right)$ = - Un(Pe) (1+ ds) Mp Vp (PZ)

$$\sum_{spin} |\mathcal{M}|^{2} = \frac{G_{p}^{2}}{2} |V_{us}|^{2} f_{k}^{2} M_{p}^{2} \bar{I}_{r} \left[p_{1} \left(1 + \tilde{V}_{5} \right) \left(p_{2} - M_{p} \right) \left(1 - \tilde{V}_{5} \right) \right]$$

Posso integrare SdD = 471

- · Correzioni radiative (QCD) sono ~ O(1%)
- · E proportionale a Mp?

$$\frac{\int (\kappa^{+} - e^{+} V_{e})}{\int (\kappa^{+} - \rho^{+} V_{r})} = \frac{Me^{2}}{M_{r}^{2}} \left(\frac{1 - \frac{Me^{2}/M_{k^{+}}^{2}}{1 - \frac{Mr^{2}/M_{k^{+}}^{2}}{M_{k^{+}}^{2}}} \right)^{2} \approx 2.48 \times 10^{-5}$$

· Dipenda da IVust e da 1 solo parametro non perturbatiro fxt.

· Questo e il decadimento principale, seguito da TITT.

$$Br(K^{+} \rightarrow \mu^{+} \vee_{\mu}) \approx 63.6\%$$
 $Br(K^{+} \rightarrow \pi^{+} \pi^{\circ}) \approx 20.67\%$
 $Br(K^{+} \rightarrow e^{+} \vee_{e}) \approx 4.58 \times 10^{-5}$

- . Decadimenti in 3 corpi sono soppressi dalla spuzio delle fasi.
- Risultato analogo per altri decadimenti leptonici: 1 → l^t v, D^t → l^t v, B^t → l^t v, B^t → l^t v, etc...

Il fatto che Br(K+ + ol+ ve) 2 m2 e UNa "soppressione chirale". Pur essere infatti capita studiando il momento angolare.

- · K è uno pseudoscalare : spin = 0
- · Il neutrino e LH: elicità } dato che un co
- · L'auti-muone é generato dalle interazioni deboli con chiralita RH. Se mn=0 allora avrebbe elicita = + } Studiamo il momento angolare lugo 2:

Stato iniziale Stato finale

Il processo sorebbe quindi victato per MM=0. Con un to pagando un fatture un possiamo fare un flip dell'elicita ed avere pt con elicità=-{

$$-\frac{1}{2}\sum_{k=0}^{2}\sum_{k=0}^{2}$$

= M(K+=p+vr) & Mp = Br & mp

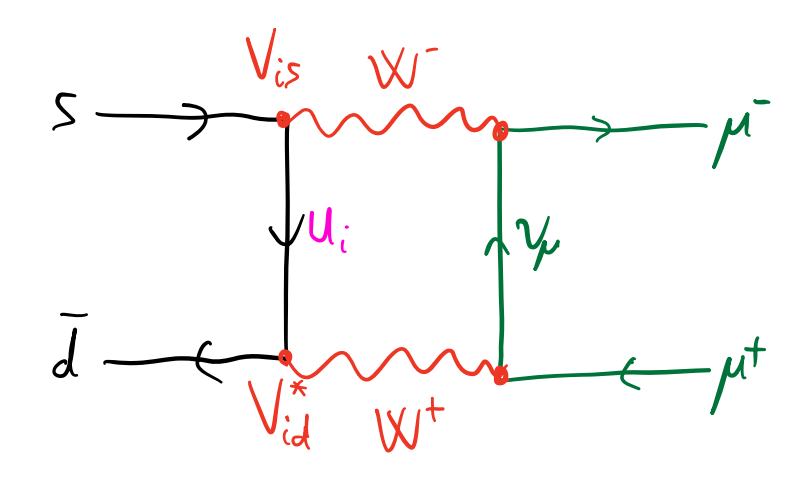
SOPPRESSIONE DEI PROCESSI CON FCNC [F.6.6]

Confrontiamo
$$Br(K^{+}-b\mu^{+}\nu_{\mu}) \simeq 0.64 \leftarrow \frac{CORRENTE}{CARICA}$$

Con $Br(K_{L}-b\mu^{+}\mu^{-}) \simeq 7 \times 10^{-9} \leftarrow \frac{CORRENTE}{NEVIRA}$

dove | K_> = \frac{1K^0 > + 1K^0 >}{VE} \tag{trascurando violazione di CP}

Abbiamo infatti visto che nello SM non ci sono FCNC (flavovi-changing neutral corrents) a livello albero. Quindi $K_{L}(\frac{15d > + 1 ds >}{\sqrt{z}})$ pripir e generato solamente da diagrammi con almeno i loop:



L'ampietta sara proportionale a:

f(m) è una funzione che descrive il loop.

E adimensionale e dipende da m_{u_i} tramite $x_i = \frac{M_{u_i}^z}{M_{u_i}^z}$

Se potessi trascurare le masse dei quark ui nel loop (o se fossero tutte uguali) potrii fattorizzare: \mathcal{H} a $\mathcal{J}(m) \gtrsim V_{is} V_{id}^* = 0$ grazie all'unitarieta della matrice CKM: VtV= 1 In f[m] posso quindi trascurare parti costanti (indip. da m). Nel processo che stiamo considerando nel loop circolano i quark up, charm e top: $\mathcal{M} = \underbrace{\bigvee_{us}\bigvee_{ud}^{k} \delta(x_{u}) + \bigvee_{cs}\bigvee_{cd}^{k} \delta(x_{e}) + \bigvee_{ts}\bigvee_{ta}^{k} \delta(x_{t})}_{\mathcal{O}(\lambda)}$ Trascurando Xu, Xc << 1 e prendendo flo) a fattor comune: M 2 3/0) (Vus Vud + Vcs Vcd) + 3(Xt) Vts Vtd = - Vts Vta per unitarietà della CKM

 \Rightarrow \mathcal{M} \wedge $V_{ts}V_{td}^*$ $\left(\frac{1}{2} (x_t) - \frac{1}{2} (0) \right)$

I due contributi da up e charm, con un coefficiente CKM di O(x) si cancellano tra loro ed il residuo e^{-} $O(\lambda^{5})$.

Questa soppressione è chiamata

"Meccanismo GIM" [blashow-Iliopoulos-Maiani 70] Espandendo per piccole masse si ha!

Si officue infine:

Il fattore $\frac{2}{7}$ V_{ta}V^{*}_{ts} ~ 10^{-7} spiega la soppressione di questo processo rispetto a quello simile in corrente carica K⁺ ~ p p p p.